

## 흰불나방 核多角體病바이러스의 性狀과 病原性에 關한 研究

任大準\*·玄在善\*\*·白雲夏\*\*·林鍾聲\*\*\*

### Studies on the Nature and Pathogenicity of Nuclear Polyhedrosis Virus of the Fall Webworm, *Hyphantria cunea* (Drury)

Im, Dae Joon.\* Hyun, Jae Sun,\*\* Paik, Woon Hah.\*\* Lim, Jong Sung.\*\*\*

#### ABSTRACT

An inclusion forming virus isolated from a fall webworm, *Hyphantria cunea*, in 1975 was identified as a nuclear polyhedrosis virus. With the virus isolated in Korea, it was considered that the virus would be one of the valuable microorganism in microbial control. In this connection, 1) the shape and size of the virus for identification, 2) susceptibility of the various instar larvae to the virus, 3) the effects of storage condition on the pathogenicity and the cross infection of the virus to the larvae of *Bombyx mori* were examined.

The results are summarized as follows;

1. The polyhedron was tetrahedron or hexahedron of  $2\mu$  in size and the rod-shaped virus particles consisting of 2~14 rods in a bundle were  $330m\mu \times 35m\mu$  in size.
2. The hexagonal nuclear polyhedra were found only in the nucleus of the midgut cells but were variable in size.
3. The LD<sub>50</sub> values for the various instar larvae of *H. cunea* were  $8.377 \times 10^4$  PIBs/ml for the second,  $4.974 \times 10^5$  PIBs/ml for the fifth instar larvae. The LT<sub>50</sub> values for  $10^6$  PIBs/ml were 9.6 days for the second, 11.5 days for the third, 12.0 days for the fourth and 17 days for the fifth instar larvae.
4. The susceptibility of *H. cunea* to the nuclear polyhedrosis virus was greater in the first generation than in the second generation.
5. The effect of the storage conditions on the pathogenicity of the nuclear polyhedra was less in refrigerator ( $5^\circ C$ ) and in freezing ( $-80^\circ C$ ) than in room temeprature ( $18.5^\circ C$ ), especially as

\*蠶菜試驗場 蠶桑保護研究擔當官室.

\*\*서울大學校 農科大學 農生物學科

\*\*\*慶北大學校 農科大學 蠶糸學科

\*Silkworm & Mulberry Protection Research Room, Sericultural Experiment Station, ORD, Suwon, Korea

\*\*College of Agriculture, Seoul National University, Suwon, Korea

\*\*\*College of Agriculture, Kyung Buk National University, Taegu, Korea

air-dried polyhedra than as suspension.

The pathogenicity of the polyhedra seemed to decrease by sunlight during storage as cadavers, since rather greater decrease in pathogenicity was found in sunny condition than in shady condition.

6. The effective spray concentration was  $6.4 \times 10^7$  PIBs/ml in the field and its LT<sub>50</sub> values for the third and the fifth instar larvae were 4.8 days and 14.2 days, respectively.
7. No cross infections were found in the nuclear polyhedrosis virus between *H. cunea* and *B. mori*. larvae.

## 緒 言

흰불나방 바이러스病은 1919年 Chapman 等에 依해 “wilt disease”로 記錄된 것이 처음이며, 電子顯微鏡의 發明과 함께 흰불나방 바이러스病의 種類도 核多角體 바이러스病(nuclear polyhedrosis virus),<sup>4,5)</sup> 細胞質多角體 바이러스病(cytoplasmic polyhedrosis virus),<sup>1)</sup> 顆粒病(granulosis virus)<sup>9)</sup> 等으로 同定分類하기에 이르렀으며 核多角體 바이러스病은 1951年에 처음 發見되었다。<sup>12)</sup>

이 核多角體 바이러스病에 感染된 幼虫은 寄主植物의 葉裏面에 腹肢를 中心으로 梢頭症狀을 나타내는 것 이 特徵이며, 主로 寄主昆虫의 貞皮細胞, 脂肪組織細胞, 器管皮膜細胞, 筋肉細胞 等의 核에 增殖感染한다.<sup>12,24)</sup>

有賀 等,<sup>4,5)</sup> 福原 等<sup>10)</sup>는 核多角體의 形態에 따라 6面體보다 4面體의 多角體가 病原性이 強하다 하였고 Oliver<sup>20)</sup>는 흰불나방 幼虫의 體色에 따라 바이러스에 對한 感受性의 差異가 있음을 報告하였다. 이러한 核多角體 바이러스의 病原性 差異는 飼育環境에 따라서도 다르며 國見 等<sup>15)</sup>은 桑葉成分이 적은 飼料일수록 細胞質多角體 바이러스보다 感受性이 높아진다 하였다. 또한 桑葉과 같이 葉質이 좋을수록 發病時期가 빠르게 나타날뿐 아니라 病의 流行性가 매우 빠르게 傳播된다.

이와 같은 特性으로 核多角體 바이러스는 昆虫바이러스 中에서 害虫의 微生物的 防除에 많이 利用되고 있으며 一部 實用化되고 있는 것도 있다.<sup>22)</sup> 그러나 實際應用上 多角體의 保存條件과 狀態에 따른 病原力의 減退與否는 큰 問題가 되어 많은 研究가 進行되고 있다. 鮎澤<sup>6)</sup>는 家蠶 核多角體의 保存條件과 病原性關係를 調査한 結果, 凍結乾燥하여  $10^{-2}$ mgHg로 室溫에 保存하면 9~10個月後에는 活性度가 顯著히 低下하나 多角體를 室溫에서 乾燥保存時는 무려 37年間이나 病原力가 持續된다 하였고, Neilson 等<sup>18)</sup>도 *Diprion hercyniae*의 乾燥된 核多角體바이러스를  $4.5^{\circ}\text{C}$ 에 保存하면 12年間 病原力を 나타낸다 하였다. 또한 Morris

等<sup>17)</sup>은 太陽光線, 紫外線,  $\gamma$ -線, 高熱 等에 依해 多角體 바이러스가 不活化됨을 報告하였다.

昆蟲바이러스는 一般的으로 寄主昆虫에 對한 感染特異性을 나타내 흰불나방 核多角體 바이러스는 다른 나비目 昆蟲과 交叉感染(cross-infection)을 일으키지 않으나,<sup>2,4,14)</sup> 불나방 科에 屬하는 *Spilosoma* spp.에 對해 病原性이 強하여 代用寄主로 利用할 수 있다.<sup>11,12,23)</sup>

한편 有賀 等<sup>3,4)</sup>은 흰불나방 核多角體 바이러스 增殖方法의 하나로 化學藥品(EDTA: Ethylene Diamine Tetraacetic Acid, HgCl, Na-EDTA, Phagon)을 幼虫에 添加하여 核多角體病의 誘發效果를 얻었으나 家蠶과 달리 低溫處理( $5^{\circ}\text{C}$ , 24時間)에서는 效果과 缺음을 報告하였다.

Nordin 等<sup>19)</sup>은 흰불나방 核多角體 바이러스, *Pleistophora schubergi hyphantria* 와 *Nosema* sp.의 胞子를 각각 単獨과 複合處理하여 異種 病原體에 依한 本 바이러스의 侵入 및 增殖에 미치는 影響을 調査하였다.

우리나라에서는 李 等<sup>16)</sup>에 依해 日本에서 分讓받은 흰불나방 核多角體 바이러스를 害虫驅除에 利用하였으며 高 等<sup>14)</sup>도 이 바이러스의 毒性調査와 細菌殺虫劑인 thuricide를 應用하여 흰불나방 防除를 試圖한 바 있다.

이와 같이 核多角體 바이러스에 對한 大量의 研究가 되어 있으나 實際 바이러스를 利用한 害虫驅除 時 바이러스의 性狀과 利用時 病原體의 保存狀態, 保存方法 등에 따른 病原性의 究明은 무엇보다 重要하다고 생각된다. 따라서 本 試驗은 이에 對한 基礎資料를 얻어 앞으로 微生物的 防除에 應用코자 研究를 遂行하였다.

## 材料 및 方法

### 1. 供試虫

野外에서 흰불나방 卵塊을 採集하여 1% NaOCl으로 卵消毒後 孵化한 幼虫을 屋外網室에서 飼育하면서 供試하였고 室內飼育室은 3% formalin, 飼育用 사례( $18\text{cm} \times 2.5\text{cm}$ )는  $140^{\circ}\text{C}$ 에서 30分間 消毒하였다. 野外試驗은 뽕나무가지에  $45\text{cm} \times 60\text{cm}$  크기의 網絲를 쳐워

幼虫의 分散을 防止하였다.

家蠶(*Bombyx mori* L.)品種은 鹽 103X 蟻 104로 傳育은 慣行法에 準據하였다.

## 2. 病原體

罹病乳 幼虫은 個體別로 光學顯微鏡下에서 鏡檢後核多角體 罷病幼虫만을 골라 homogenizer로 磨碎後가지 또는 얇은 脱脂綿을 通過시킨 다음 3,000r.p.m.에 서 15分間 遠心分離하여 생진 침전에 蒸溜水를 加하여 다시 6,000r.p.m.에 30分間 2回 洗滌하여 核多角體를濃縮시킨 後 hemacytometer를 使用,  $10^9$ PIB/ml의 濃度를 만들어 原液으로 하였다.

病原體 接種은 이 原液에 蒸溜水를 加하여  $10^4\sim10^9$ PIB/ml로 만들어 桑葉에 沾末, 陰乾後 各齡 脱皮 2時間後에 24時間 添食하였으며 野外試驗은 各濃度別로 atomizer를 利用하여 桑葉에 敷布한 後各幼虫을接種하였다.

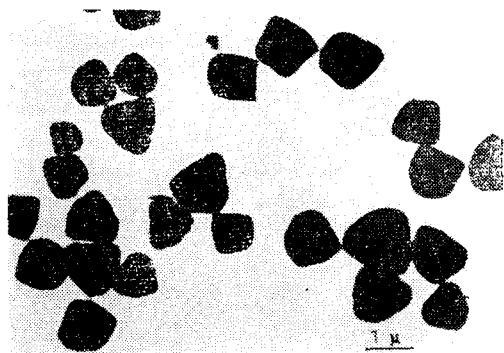


Fig. 1. Triangular polyhedra of *II. cunea* mixed with a few numbers of tetragonal polyhedra.

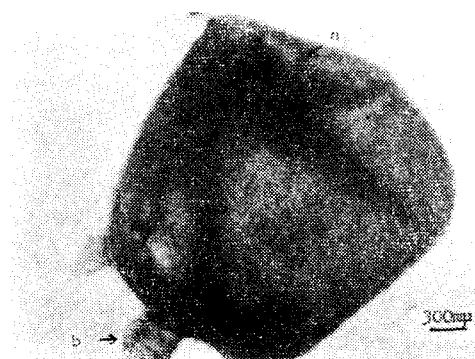


Fig. 3. *II. cunea* polyhedron membrane after alkaline dissolution. Notice the virus bundles (a) and virus particles (b) are contained.

家蠶 核多角體 바이러스는 흰불나방 核多角體 바이러스와 区別하기 쉽도록 本 試驗場에서 保有하고 있는 6角形을 供試하였다.

罹病幼虫의 調査는 處理後 14日까지 調査하였으며  $LT_{50}$ 은 化蛹時까지 調査하였고 本 試驗에서 計算된  $L D_{50}$  및  $LT_{50}$ 은 Finney 法<sup>8)</sup>에 依據 農村振興廳 電算室에 依頼하여 算出하였다.

## 3. 電子顯微鏡 觀察

흰불나방 核多角體의 內容物을 觀察하기 為한 試料製作은 多角體를 슬라이드上에서 0.5M  $Na_2CO_3$ 로 5~10分間 處理後 formvar로 被覆된 mesh grid에 採取 陰乾하고 2% PTA (Potassium Phosphotungstic Acid)로 negative staining 하여 電子顯微鏡(Hitachi-Hu-IIIE)으로 觀察하였다.

本 試驗을 為해 電子顯微鏡 觀察을 도와 주신 農業技術研究所 植物病理科 李淳卿님께 깊은 感謝를 드립

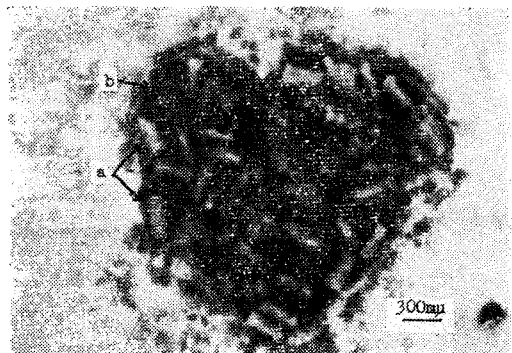


Fig. 2. *II. cunea* virus bundles (a) and virus particles (b) of nuclear polyhedrosis virus disclosed after alkaline dissolution (sodium carbonate).

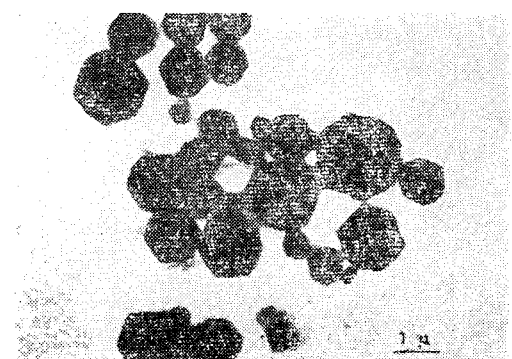


Fig. 4. *II. cunea* hexagonal polyhedra of nuclear polyhedrosis virus purified by sucrose density gradient centrifugation.

니다.

## 實驗結果

### 1. 흰불나방 核多角體 바이러스의 性狀

흰불나방 核多角體는 3 角形의 4 面體 또는 4 角形의 6 面體로 이들은 大部分 한組織內에 混合感染되어 있고 6面體보다 4面體의 것이 더 많은 比率을 차지하고 있으며 크기는  $1.2\mu$ 부터  $2.7\mu$ 으로 平均  $2.0\mu$ 이었다 (Fig.1). 核多角體를  $0.5\mu$   $\text{Na}_2\text{CO}_3$ 로 5分間 處理結果 核多角體蛋白質이 溶解되기 始作하여 10分 處理에서는 virus bundle 이 보였으며 一部는 virus bundle 内에 virus particle, 즉 virion 이 觀察되었고 그 數는 2~12本으로 크기는  $330\mu \times 35\mu$ 의 棍狀이었다 (Fig. 2, 3).

한편 飼育中 發見된 中腸核多角體는 6角形으로 크기의 變化가 배우 甚하여 작은 것은  $0.3\mu$ 에서 큰 것은  $1.5\mu$ 이었다 (Fig.4). 이 病原體를 흰불나방 幼虫에 經口接種結果 中腸細胞의 核에만 增殖하며 病狀은 中腸의 膨大, 呻의 缺少, 舉動의 不活發, 食慾의 不振하며 病原性이 非常 弱하며 4面體, 6面體의 核多角體와 混合感染도 일으켰다.

### 2. 흰불나방 核多角體 바이러스의 病原性

#### 가. 令期別 病原性

核多角體 바이러스의 令期別 病原性을 檢定하기 為

하여 8個月間 室溫에 保存된 原液을  $1.45 \times 10^4$ ,  $1.45 \times 10^5$ ,  $1.45 \times 10^6$ ,  $1.45 \times 10^7$ ,  $1.45 \times 10^7$ ,  $1.45 \times 10^8$ , 및  $1.45 \times 10^9$  PIBs/ml 的 6個 濃度로 稀釋하여 桑葉에 塗末 陰乾한다음 1化期 各齡 脫皮 2時間 後 添食시켜 室內에서 飼育하면서 致死率을 調査한 結果는 Table 1, 과 같다.

即 2,3令에서는  $1.45 \times 10^7$  PIBs/ml에서 90% 以上의

**Table 1.** Comparative mortality of four instars of *H. cunea* larvae to the nuclear polyhedrosis virus

Approx. numbers PIB s/ml	Second instar	Third instar	Fourth instar	Fifth instar
$1.45 \times 10^9$	100.0	100.0	96.4	94.1
$1.45 \times 10^8$	100.0 <sup>b</sup>	96.4	83.3	73.6
$1.45 \times 10^7$	98.2	94.7 <sup>c</sup>	59.2	54.7
$1.45 \times 10^6$	74.1 <sup>b</sup>	53.6	43.5 <sup>b</sup>	28.3
$1.45 \times 10^5$	37.7	31.5	24.1	17.0
$1.45 \times 10^4$	22.9	15.0	14.8	1.9

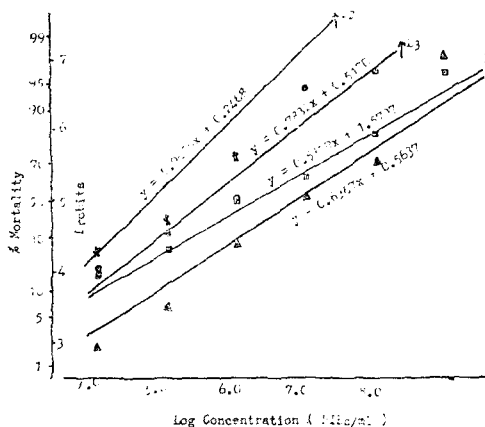
\*a:all data were based on two replications of 60 larvae and corrected for the mortality of controls by Abbott's formula.

b,c:the numer of tested larvae were 59 for b and 61 for c.

**Table 2.** Comparison of median lethal time in various concentration of the nuclear polyhedrosis virus for four instars of *H. cunea* larvae

Approx. numbers PIB s/ml	LT <sub>50</sub>	95% Confidence limit	Slope (b)	LT <sub>50</sub>	95% Confidence limit	Slope (b)	
Second Instar						Third Instar	
$1.45 \times 10^9$	7.14	0.19	20.878	7.39	0.27	21.073	
$1.45 \times 10^8$	8.01	0.17	31.788	8.09	0.73	19.201	
$1.45 \times 10^7$	8.82	0.57	17.165	9.21	1.49	18.782	
$1.45 \times 10^6$	9.55	0.28	14.504	11.49	1.27	15.235	
$1.45 \times 10^5$	15.15	2.23	8.718	15.20	2.11	7.292	
$1.45 \times 10^4$	18.04	2.92	7.448	18.72	3.23	4.847	
Fourth Instar						Fifth Instar	
$1.45 \times 10^9$	7.38	0.20	14.036	9.76	0.28	14.138	
$1.45 \times 10^8$	8.69	2.60	12.994	11.27	0.55	6.994	
$1.45 \times 10^7$	9.65	0.41	6.592	12.09	0.75	5.692	
$1.45 \times 10^6$	12.01	0.90	5.302	17.32	3.20	5.297	
$1.45 \times 10^5$	15.84	2.11	4.984	— <sup>a</sup>	—	—	
$1.45 \times 10^4$	19.11	1.26	4.328	—	—	—	

\*a:because of the low mortality the LT<sub>50</sub> values could't obtain.



**Fig. 5.** Dose mortality response in four instars of *H. cunea* larvae following ingestion of different concentration of nuclear polyhedrosis virus. Arrow indicates 100% mortality.

致死率을 나타냈으나 4.5회에서는 59.2%와 54.7%였으며 이들에 대한  $LD_{50}$ 은 2, 3, 4 및 5회 각각  $8.377 \times 10^4$ ,  $4.974 \times 10^5$ ,  $2.621 \times 10^6$  및  $9.471 \times 10^6$  PIBs/ml로 5회에 진展됨에 따라 核多角體·바이러스에 대한 抵抗성이 나타났다(Fig. 5.)。

한편 1회 LT<sub>50</sub>은  $1.45 \times 10^6$  PIBs/ml에 대해 각각 9.6, 11.5, 12.0 및 17.3회로 幼虫의 수록 빠르게 나타났으나 低濃度에서는 5회의 境遇致死率이 매우 낮아 LT<sub>50</sub> 산출이 不可能하였다(Table 2).

#### 나. 化期別 病原性

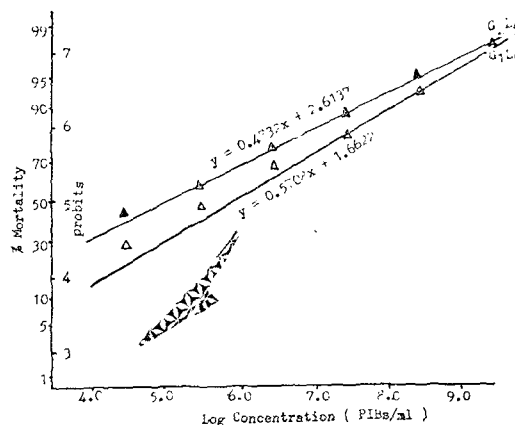
室溫에서 保存한 核多角體는 1회 幼虫에 接種하여 얻은 核多角體 바이러스를當年 1, 2회 5회 幼虫에 添食시킨 後 病原性을 調査한結果는 Table 3과 같다.

**Table 3.** Differences in mortality of the first-and the second-generation larvae of *H. cunea* to the nuclear polyhedrosis virus

Approx. numbers PIB s/ml	Fifth Instar	
	First- generation	Second- generation
$2.9 \times 10^9$	100.0 <sup>a</sup>	98.4
$2.9 \times 10^8$	93.3	96.7
$2.9 \times 10^7$	78.3	88.4
$2.9 \times 10^6$	70.0	78.4
$2.9 \times 10^5$	46.7	60.0
$2.9 \times 10^4$	28.3	45.0 <sup>b</sup>

\*: see footnotes a of Table 1.

b: one larva was died of hexagonal nuclear polyhedrosis viruses in the midgut.



**Fig. 6.** Dose mortality response of nuclear polyhedrosis virus to the first-(G1) and the second-generation larvae (G2) of the fifth instar larvae of *H. cunea*.

특히 2化期에서는 1化期에서와 달리 低濃度에서 높은 致死率을 보여  $2.9 \times 10^5$  PIBs/ml에서도 60%以上이었으며 飼育中 發見된 또 다른 바이러스病은 中腸核多角體 바이러스病임이 判明되었다. 한편  $LD_{50}$ 도 각각  $7.045 \times 10^5$  PIBs/ml와  $8.878 \times 10^4$  PIBs/ml, 回歸直線의 기울기는 0.4823과 0.5708로 2化期에서는 病原性이 매우 크게 나타났다. (Fig. 6)

#### 다. 保存條件에 따른 病原性

純化된 核多角體와 罷病死體內 核多角體의 保存條件에 따른 病原性을 檢定고지 1975年 11月부터 1976年 6月까지 條件別로 保存하였다. 即前記에 依해 만든 原液을 高速遠心分離하여 沈澱된 核多角體와 이와 同量의 懸濁液을 室溫( $18^{\circ}\text{C}$ ), 冷藏( $5^{\circ}\text{C}$ ) 및 冷凍( $-80^{\circ}\text{C}$ )에 각각 保存하였으며 罷病死體內 核多角體는 陰地와 太陽光線下에 保存하였다.

懸濁液과 乾燥粉末狀態別로 보면 Table 4와 같이 어느 條件에서나 粉末狀態의 核多角體가 病原性이 強하게 나타났으며 特히 條件別로는 冷凍과 冷藏保存이 室溫保存보다 훨씬 높게 나타났다.

即 懸濁液의 경우 3齡幼虫에 대한  $LD_{50}$ 은 室溫, 冷藏 및 冷凍別로 각각  $3.739 \times 10^6$ ,  $9.392 \times 10^4$  및  $4.359 \times 10^4$  PIBs/ml로 室溫保存의 경우 病原性은 매우 크게減少하였다.

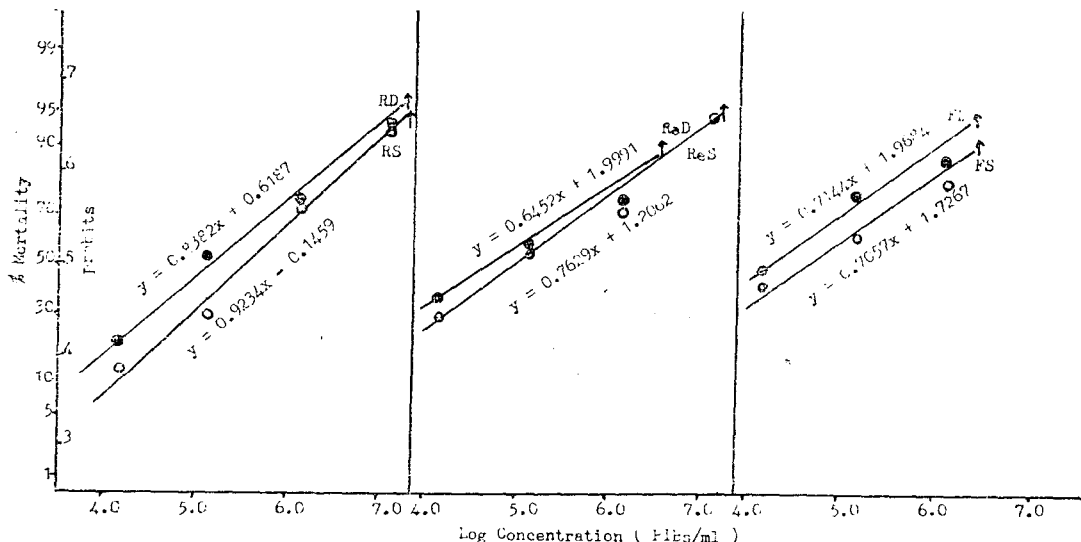
그러나 乾燥粉末에서는 懸濁液의 경우와 달리 條件別로 큰 差異가 없었다. (Fig. 7)

한편 罷病死體內 保存된 核多角體 바이러스의 病原性은  $3.1 \times 10^6$  PIBs/ml에 대한 致死率이 陽地 및 陰地別로 3齡幼虫은 56.3%와 89.1%, 5齡幼虫의 境遇 56.2%와 65.3%를 각각 나타냈다. (Table 5)

**Table 4.** Comparative Pathogenicity of the nuclear polyhedrosis virus to the third instar larvae of *H. cunea* when the polyhedra were stored as suspension and air-dried in various conditions

Approx. numbers PIB s/ml	Room Temperature		Refrigerator		Freezing	
	Suspension	Air-Dried	Suspension	Air-dried	Suspension	Air-Dried
$1.45 \times 10^9$	100.0 <sup>a</sup>	100.0	100.0	100.0	100.0	100.0
$1.45 \times 10^8$	100.0	100.0	100.0	100.0	100.0	100.0
$1.45 \times 10^7$	92.8	94.6	100.0	94.5	100.0	100.0
$1.45 \times 10^6$	72.7	76.3	74.6	76.4	81.9	87.3
$1.45 \times 10^5$	28.4	52.7	56.3	59.9	61.8	78.2
$1.45 \times 10^4$	12.8	20.0	29.0	38.2	40.0	47.3

\*a: see footnotes a of Table 1.

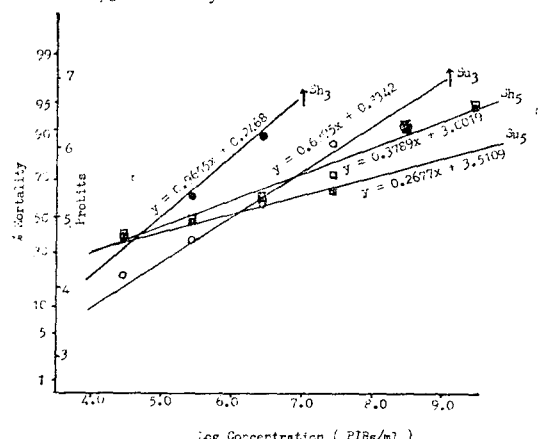


**Fig. 7.** Dose mortality response of the third instar of *H. cunea* larvae following ingestion of suspension (S) and air-dried (D) nuclear polyhedrosis virus stored in room temperature (R), refrigerator (Re) and freezing (F) respectively. Arrow indicates 100% mortality.

**Table 5.** The effects of sun light on the virulence of the nuclear Polyhedrosis virus to the third and the fifth instars of *H. cunea* larvae

Approx. numbers PIB s/ml	Third Instar		Fifth Instar	
	Sunny spot	Shady spot	Sunny spot	Shady spot
$3.1 \times 10^9$	100.0 <sup>a</sup>	100.0	94.7	96.5
$3.1 \times 10^8$	89.5	100.0	89.5	89.5
$3.1 \times 10^7$	87.4	100.0	61.5	77.3
$3.1 \times 10^6$	56.3	89.1	56.2	65.3
$3.1 \times 10^5$	36.4	63.7	49.2	52.6
$3.1 \times 10^4$	20.0	38.2	40.3	42.1

\*a: see footnotes a of Table 1.



**Fig. 8.** The effect of sun light on the virulence of the nuclear polyhedrosis virus to the third and the fifth instars of *H. cunea* larvae. Arrow indicates 100% mortality.

**Table 6.** Mortality of *H. cunea* larvae in the third and the fifth instar following ingestion of the nuclear polyhedrosis virus sprayed on mulberry leaves in the field<sup>a</sup>

Approx. numbers PIBs/ml	Third Instar	Fifth Instar
$6.4 \times 10^8$	92.2	77.8
$6.4 \times 10^7$	88.9	66.7
$6.4 \times 10^6$	64.4	43.3
$6.4 \times 10^5$	48.9	35.6

\*a: the tests were carried out in Spring, 1977.

b: three replications of 90 larvae for each treatment and corrected for the mortality of controls by Abbott's formula.

이들의  $LD_{50}$ 는 3齶에서는 阳地와 險地별로  $9.023 \times 10^5$  PIBs/ml과  $9.071 \times 10^4$  PIB/ml로 阳地에서는 病原性이 크게 떨어진 것으로 나타났으나 5齶幼虫에서는 큰 차이를 나타내지 않은 편향이 있다. (Fig. 8)

#### 4. 野外에서의 病原性

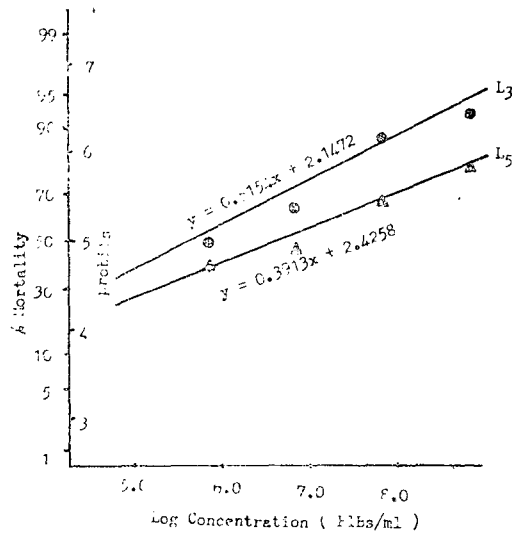
核多角體를 野外 桑나무 가지에 撒布하여 1化期 원분나방 幼虫을 接種한 後 14日까지 致死率을 調査한結果는 Table 6 과 같다.

野外에서의 致死率은  $6.4 \times 10^6$  PIBs/ml에 對해 3齶虫은 64.4%, 5齶虫은 43.3%로 野外에서도 높은 病原性을 나타냈으나 5齶虫에서는多少 抵抗性을 보였다.  $LD_{50}$ 은 3齶虫의 橋遇  $3.647 \times 10^5$  PIBs/ml, 5齶虫은  $3.790 \times 10^6$  PIBs/ml로 齶別 病原性的 差異가 慢著하였다.

한편  $LT_{50}$ 은  $6.4 \times 10^6$  PIBs/ml에 對해 3齶虫은 8.78日, 5齶虫은 16.18日로 3齶보다 7.4日이 더 所要되었 다. (Table 7)

#### 3. 家蠶에 對한 交叉感染

원분나방 核多角體 바이러스와 家蠶 核多角體 바이



**Fig. 9.** Dose mortality response to the third and the fifth instars of *H. cunea* larvae inoculated with nuclear polyhedrosis viruses in the field

러스의 相互各寄主에 對한 細口接種結果 소화 交叉感染은 認定할 수 없었다. 即 원분나방 核多角體 바이러스를 2齶起蟲에 接種한結果 病原體 接種濃度에 關係없이 한, 두마리의 6角形 家蠶 核多角體 바이러스가 鏡檢되었으며 4,6面體의 원분나방 核多角體 바이러스는 觀察되지 않았다.

또한 家蠶 核多角體 바이러스를 원분나방 3齶幼虫에 接種하여도 家蠶에서의 같은 結果를 얻었다. 家蠶과 달리 원분나방 核多角體 바이러스는 異形 바이러스에 依한 自然發病을 생작할 수 있다(Table 8).

#### 考 察

원분나방 核多角體의 形態 및 크기는 4,6面體로約  $2.0 \mu\text{m}$ virus bundle內에 있는 virion은 棍狀形의  $330\text{m}\mu \times 35\text{m}\mu$ 크기로 한 個의 核多角體內에는 2~12本

**Table 7.** Median lethal time ( $LT_{50}$ ) for the third-and the fifth instar of *H. cunea* larvae inoculated with the nuclear polyhedrosis virus in the field

Approx. numbers PIBs/ml	Third Instar			Fifth Instar		
	$LT_{50}$	95% Confidence limit	Slope (b)	$LT_{50}$	95% Confidence limit	Slope (b)
$6.4 \times 10^8$	4.02	0.13	7.295	12.59	0.37	9.388
$6.4 \times 10^7$	4.78	0.26	6.363	14.24	0.96	11.859
$6.4 \times 10^6$	8.78	0.15	7.578	16.18	0.39	11.089
$6.4 \times 10^5$	12.05	0.23	7.748	16.52	0.36	16.008

**Table 8.** Cross infection of the nuclear polyhedrosis viruses between *H. cunea* and *B. mori* larvae

Approx. numbers PIBs/ml	HNPV Feeding <sup>a</sup>			Approx. numbers PIBs/ml	BNPV Feeding <sup>b</sup>		
	No. of tested larvae	HNPV <sup>c</sup>	BNPV <sup>d</sup>		No. of tested larvae	HNPV	BNPV
$1.2 \times 10^9$	27	0.0	0.0	$7.6 \times 10^8$	30	10.0	0.0
$1.2 \times 10^8$	39	0.0	0.0	$7.6 \times 10^8$	30	0.0	0.0
$1.2 \times 10^7$	42	0.0	2.4	$7.6 \times 10^7$	30	13.3	0.0
$1.2 \times 10^6$	36	0.0	2.5	$7.6 \times 10^6$	30	10.0	0.0
$1.2 \times 10^5$	46	0.0	0.0	$7.6 \times 10^5$	30	3.3	0.0
$1.2 \times 10^4$	35	0.0	0.0	$7.6 \times 10^4$	30	6.6	0.0
Control	26	0.0	0.0	Control	30	0.0	0.0

\* a : administered to the second instar larvae of *B. mori*.

b : administered to the third instar larvae of *H. cunea*.

c : a nuclear polyhedrosis virus of *H. cunea*.

d : a nuclear polyhedrosis virus of *B. mori*.

의 virion으로構成되어 있다. 이는 有賀<sup>5)</sup> 原等<sup>10)</sup> 田中等<sup>23)</sup>의 報告와 같은 結果로 나타났다. 그러나 飼育中發病된 6角形의 中腸核多角體바이러스는 Giemsa's staining結果 negative로 나타나고 病原性이 매우 弱하여 潜伏期間도 짧았다. 本 6角形의 中腸核多角體는 幼虫體內에서 潜在狀態이던 것이 低濃度의 异型 바이러스接種에 依해 誘發된 것으로 생각되나 病原體의 不足으로 이에 대한 究明이 不可能하였다.

이와같이 多角體의 形態와 病原性은 密接한 關係가 있으며 Tanada<sup>22)</sup>는 바이러스粒子數에 따라 그 差異가 있음을 報告하였다.

核多角體 바이러스의 齡期別 幼虫에 對한 病原性은 病原體濃度와 幼虫의 發育時期에 따라 差異가 있어 높은濃度와 幼虫일수록 크고 壯齡虫 일수록 抵抗性을 보여 2齡虫에 對한  $LD_{50}$ 이  $8.377 \times 10^4$  PIBs/ml임에 反하여 3齡虫은 2齡虫의 約 5.9倍, 4齡虫은 約 31.3倍, 5齡虫은 約 115.1倍로 나타났다. 또한 病原體濃度에 따른 潜伏期間도 같은 傾向이었으며 대개 4日부터 10日사이에 罹病幼虫이 나타나기 始作하였다. 幼虫 發育段階別抵抗性의 差異는 小林等<sup>13)</sup>에 依하면 家蠶에 있어 壯齡일수록 腸內 바이러스에 對한 抑制作用이 增大한다는 것과 類似한 關係가 있는 것으로 알려졌다.

또한 흰불나방 化期別 幼虫의 感受性은 1化期보다 2化期에서 높게 나타났으며 2化期에는 蛹期前後에 大部分斃死하였다. 即 核多角體 바이러스는 溫度의 影響을 크게 받으며 飼料의營養에도 깊은 關係가 있어 葉質이 不良하면 幼虫生長發育이 障害가 되므로 바이러스의 侵増殖이 容易한 것으로 推測된다.

核多角體 保存에 따른 病原性은 懸濁液 保存보다 乾燥粉末에서 높았으며 室溫, 冷藏 및 冷凍條件에서는 保存溫度가 낮을수록 病原體活性度가 低下되지 않았으나 室溫에서는 크게 減少하였다. 罹病死體를 陽地에 保存한 것은 太陽光線에 依해 바이러스의活性度가 크게 低下하여 病原性이 弱하였으나 陰地에서는 低濃度에서도 致死率이 높은 것으로 보아 病原體 保存時 太陽光線의 影響을 考慮해야만 한다고 믿어진다.

鯨澤<sup>6)</sup>는 家蠶核多角體바이러스를  $-25^{\circ}\text{C}$ 에 保存한 것은活性度減少가 적었으나 懸濁液으로 室溫에서 凍線保存하면活性作用이 減退한다 하였으며 Morris<sup>17)</sup>는 昆虫 바이러스는 太陽光線에 依해 不活化現象을 일으킨다고 報告한 바 있다. 特히 本試驗에서 使用한 病原體 保存期間이 多期中임으로 外部溫度가 낮아 核多角體 바이러스에 對한 病原性에 크게 影響을 미치지 못하였으나 長期間 保存時 保存條件에 따른 바이러스의活性度는 크게 變化할 것으로 생각된다.

以上의 結果로 보아 바이러스의 保存은 病原體를 陰地에 保存하는 것이 病原性의 減少가 적었으며 溶液狀態保存은 溶液의 pH變化에 따라活性度가 다르므로 乾燥粉末狀態保存이 理想의이나 病原體·純化過程을 생작할 때 罹病死體를 低溫이나 그늘진 곳에 保存後 使用時 純化하는 것이 病原力 減退가 적으리라 생각된다.

한편 野外에서의 病原性은 室內에 比하여 큰 差異가 없이  $6.4 \times 10^6$  PIBs/ml에서도 致死率이 높았으며 高濃度일수록 潜伏期間도 짧게 나타났다. 本核多角體 바이러스는 寄主昆蟲에 對해 病原性이 強할 뿐만 아니라 幼虫에 依한 病原體의 分散力이 빨라 傳染 및 増殖에

效果가 있으며 특히 外界溫度 및 個體群 密度가 病原性과 潜伏期間에 影響이 크게 미쳤다.

흰불나방 核多角體 바이러스와 家蠶 核多角體 바이러스 相互間의 交叉感染 檢定結果 全て 認定되지 않은 것은 이미 많은 研究에서 밝혀진 바와 같으며 이는 寄主昆虫에 對한 特異性을 나타내며 荒武<sup>等</sup><sup>2)</sup>은 家蠶의 경우 다른 나비目 昆虫과는 組織이나 器管에 對해 特異한 感受性을 報告하였다.

以上과 같이 흰불나방 核多角體 바이러스의 性狀 및 바이러스 保存狀態 및 方法에 따른 病原性 또는 感受性을 報告하였으나 앞으로 바이러스를 利用한 微生物的 防除時 이미 알려진 人工飼育에 依한 바이러스의 增殖<sup>12,15)</sup> 越冬蛹의 休眠打破, 病原體의 散布方法 및 散布後 起起<sup>16)</sup> 모를 公告 等 많은 問題가 檢討되어야 할 것이다.

### 摘要

1975年 水原 蟻業試驗場에서 分離한 흰불나방 核多角體 바이러스 性狀과 齡期, 化期別 및 病原體 保存條件에 따른 病原性을 檢定하기 위하여 核多角體 바이러스를 懸濁液 및 乾燥시켜 室溫( $18.5^{\circ}\text{C}$ ), 冷藏( $5^{\circ}\text{C}$ ), 冷凍( $-80^{\circ}\text{C}$ )에 각각 保存, 罹病死體는 그대로 陽地 陰地에 保存하였고 野外에서의 病原性, 家蠶에 對한 交叉感染을 檢定한 結果 다음과 같다.

1. 흰불나방 核多角體는 4面體와 6面體로 크기는 約  $2.0\mu\text{m}$ 이고 바이러스 粒子는 梱狀形의 2~12本으로  $33\text{m}\mu \times 35\text{m}\mu$ 이었다.

2. 6角形의 흰불나방 中腸核多角體 바이러스는 中腸의 核에서만 發見되었다.

3. 齡期別 LD<sub>50</sub>, 2, 3, 4 및 5齡에 對해  $8.377 \times 10^4$ ,  $4.974 \times 10^5$ ,  $2.621 \times 10^6$  및  $9.471 \times 10^6$  PIBs/ml 였으며  $1.45 \times 10^6$  PIBs/ml 對한 LT<sub>50</sub>은 각각 9.6, 11.5, 12.0 및 17.3日이었다.

4. 核多角體 바이러스는 1化期 幼虫보다 2化期 幼虫에서 感受性이 높았다.

5. 核多角體 保存은 純化乾燥하여 冷凍 및 冷藏 保存하거나 罹病死體를 陰地에 保存하는 것이 바이러스 活性度의 減少가 적었다.

6. 野外에서의 効果的인 散布濃度는  $6.4 \times 10^7$  PIBs/ml이며 이의 LT<sub>50</sub>은 3齡은 4.8日, 5齡은 14.2日이었다.

7. 흰불나방 核多角體 바이러스와 家蠶의 核多角體 바이러스는 相互 交叉感染을 일으키지 않았다.

### 引用文獻

1. Akutsu, K. 1971. Cytoplasmic polyhedrosis virus of the fall wbworm, *Hyphantria cunea* DRURY (Lepidoptera : Arctiidae). *Appl. Ent. Zool.* 1., 6 (4), 198-205.
2. 荒武義信, 柏村鶴雄, 1973. カイコ核多角體病ウイルス鱗翅目昆虫に對する病原性. 應動昆, 17(3), 121-126.
3. Aruga, H. 1963. Induction of virus infection. In "Insect Pathology. An Advanced Treatise." ed. by E.A. Steinhaus, Academic Press, New York, 1, 499-530.
4. 有賀久雄, 吉武成美, 渡部仁, 福原敏彦. 1960. 數種りんし目こん虫の多角體病とその誘發. 應動昆, 4(1), 51-56.
5. 有賀久雄, 福原敏彦, 福田章一, 1964. 數種鱗翅目昆虫の核多角體病ウイルスに関する電子顯微鏡的研究. 應動昆, 8(3), 222-226.
6. 鮎澤啓夫, 1953. 家蠶膜病ウイルス保存法の二, 三について. 蟻絲研究, 3, 75-77.
7. 鮎澤啓夫, 1954. 長期間室溫で保存した家蠶膜病多角體の 溶解曲線とウイルス活性. 蟻絲研究, 8, 52-54.
8. Finney, D.J. 1971. "Probit Analysis", 3rd. Ed. 333pp. Cambridge at the University Press. London.
9. 福原敏彦, 有賀久雄, 小林正彦, 1969. アメリカシロヒトリの 顆粒病について. 應動昆, 13(1), 1-4.
10. 福原敏彦, 稲本陽子, 1966. アメリカシロヒトリの ウイルス病. 應動昆, 10(3), 143-155.
11. Injac, M., Vago, C., and Tadic, M. 1971. Affinité de la polyédrose nucléaire da *Hyphantria cunea* DRURY vis-a-vis de *Spilosoma menthastris* Esp. [Lepidoptera: Arctiidae]. *Entomophaga*, 16(2), 233-237.
12. 片桐一正, 串正保, 1965. ウィルスによるアメリカシロヒトリの防除とウィルスの量産について. 山林防疫ニユース, 15(1), 8-11.
13. 小林謙, 山口定大郎, 横山好範, 1969. カイコの核多角體ウイルスに對する 感染抵抗性の發育時期による變化. 日蠶雜, 38: 481-487.
14. 고제호, 이법영, 1972. 출나방과 미국흰불나방 방제를 위한 thuricide 및 virus 毒性調査. 임업시험

- 장연구보고, 19, 43-53.
- 15. 國見裕久, 有賀久雄, 1974. 飼料條件を異したアメリカシロヒトリ幼虫の ウイルス感染抵抗性. 應動昆, 18(1), 1-4.
  - 16. 李應來, 黃啓性, 1971. 山林害虫의 微生物的 防除(第一報, 미국 흰불나방 核多角體 virus의 病原性調査). 한국미생물학회지, 9, 61-68.
  - 17. Morris, O.M. 1971. The effect of sunlight, ultraviolet and gamma radiation, and temperature on the infectivity of a nuclear polyhedrosis virus. J. Invertebrate Pathol., 18, 292-294.
  - 18. Neilson, M. M., and Elgee, B E. 1960. The effects of storage on the virulence of a polyhedrosis virus. J. Invertebrate Pathol., 2, 165-171.
  - 19. Nordin, G.L., and J.V.Maddox. 1972. Effects of simultaneous virus and microsporidia infectious on larvae of *Hyphantria cunea*. J. Invertebrate Pathol., 20, 60-69.
  - 20. Oliver, A.D. 1964. Studies on the biological control of the fall webworm, *Hyphantria cunea*, in Louisiana. J. Econ. Ent., 57(3), 314-317.
  - 21. Steinhaus, E.A. 1949. Principles of Insect Pathology, 467 pp. McGraw-Hill, New York.
  - 22. Tanada, Y. 1959. Microbial control of insect pests. Ann. Rev. Entomol., 4, 277-301.
  - 23. 田中茂男, 清水孝未. 1967. アメリカシロヒトリの核多角體病ウイルスの數種昆虫に對する病原性. 長野蠶試要報, 3, 15-131.
  - 24. Watanabe, H. 1968. Abnormal cell proliferation in the epidermis of the fall webworm, *Hyphantria cunea*, induced by the infection of a nuclear polyhedrosis virus. J. Invertebrate pathol., 12, 310-320.